

## 1B4) 한라산 1100 고지 TSP와 PM<sub>2.5</sub> 에어로졸의 황사/비황사 조성 비교: 2006년 봄철 측정

### Comparison of TSP and PM<sub>2.5</sub> Aerosol Compositions between Asian Dust and Non-Asian Dust Periods at 1100 Site of Mt. Halla, during Spring, 2006

고희정 · 강창희 · 고희철 · 홍상범<sup>1)</sup> · 김진석<sup>2)</sup> · 이종해<sup>2)</sup>

제주대학교 화학과, <sup>1)</sup>광주과학기술원 환경공학과,

<sup>2)</sup>한국표준과학연구원 삶의질 표준부

#### 1. 서 론

황토의 주성분은 장석, 석영 등으로 황토 성분은 SiO<sub>2</sub>, Al<sub>2</sub>O<sub>3</sub>, FeO, MgO, Na<sub>2</sub>O, CaCO<sub>3</sub> 등을 포함하고 있고, 이 중 가장 많이 분포되어 있는 원소는 Si > Ca > Al > Fe 의 순위 것으로 알려져 있다. 일반적으로 비황사시의 대기 부유분진은 연소입자를 다량으로 함유하고 미세입자의 비율이 높지만, 황사시에는 토양입자 및 조대입자의 함유율이 높고, 황사입자의 크기는 2.1 μm 이상의 조대입자가 50 % 이상을 차지하는 것으로 조사되고 있다. 한라산 1100 고지는 주변에 자체 오염원의 영향이 거의 없고, 해발 1100 m에 위치하여 황사는 물론 대기 경계층 상부를 통해 이동되는 월경성 대기오염물질의 거동을 효과적으로 관찰할 수 있는 지역이다. 본 연구는 이러한 배경농도 지역에서 봄철 TSP와 PM<sub>2.5</sub> 에어로졸 시료를 채취, 분석하여, 황사와 비황사시의 에어로졸 조성을 비교한 결과로, 황사가 제주지역 대기에어로졸 조성에 미치는 영향을 평가하기 위한 목적으로 수행되었다.

#### 2. 연구 방법

제주도 한라산 1100 고지(33°21' N, 126°27' E)에 high volume tape sampler(KIMOTO, Model 195A) 와 PM<sub>2.5</sub> air sampler를 설치하여, 2006년 4월과 5월에 3일 간격(일부 집중측정 기간에는 매일) 24시간 단위로 TSP와 PM<sub>2.5</sub> 시료를 각 41개씩 채취하였다. TSP와 PM<sub>2.5</sub> 에어로졸의 이온성분은 IC Metrohm Modula IC와 Metrohm Metrosep Cation 1-2-6 column 및 Metrohm Metrosep A-SUPP-4 column을 사용하여 분석하였다. 또 TSP 에어로졸의 금속 및 황 성분은 ICP/AES (Thermo Jarrell Ash, Model IRIS-DUO)로 분석하였다. 또 황사기간은 기상청에서 발표한 전국 황사일을 기준으로, 4월 7 ~ 9일, 19일, 23 ~ 25일, 30일, 5월 1일에 채취한 시료를 황사기간으로 정하였다.

#### 3. 결과 및 고찰

##### 3.1 TSP, PM<sub>2.5</sub> 에어로졸의 조성

연구 기간 중 TSP의 이온성분 농도는 nss-SO<sub>4</sub><sup>2-</sup>(6.69 μg/m<sup>3</sup>) > NO<sub>3</sub><sup>-</sup>(2.10 μg/m<sup>3</sup>) > NH<sub>4</sub><sup>+</sup>(1.87 μg/m<sup>3</sup>) > nss-Ca<sup>2+</sup>(1.11 μg/m<sup>3</sup>) > Na<sup>+</sup>(0.82 μg/m<sup>3</sup>) > Cl<sup>-</sup>(0.35 μg/m<sup>3</sup>) > K<sup>+</sup>(0.26 μg/m<sup>3</sup>) > Mg<sup>2+</sup>(0.17 μg/m<sup>3</sup>), PM<sub>2.5</sub> 는 nss-SO<sub>4</sub><sup>2-</sup>(3.66 μg/m<sup>3</sup>) > NH<sub>4</sub><sup>+</sup>(1.11 μg/m<sup>3</sup>) > NO<sub>3</sub><sup>-</sup>(0.72 μg/m<sup>3</sup>) > nss-Ca<sup>2+</sup>(0.27 μg/m<sup>3</sup>) > Na<sup>+</sup>(0.17 μg/m<sup>3</sup>) > K<sup>+</sup>(0.15 μg/m<sup>3</sup>) > Cl<sup>-</sup>(0.07 μg/m<sup>3</sup>) > Mg<sup>2+</sup>(0.06 μg/m<sup>3</sup>)의 순이었다. 그리고 TSP의 경우 인위적 기원의 성분들(NH<sub>4</sub><sup>+</sup>, NO<sub>3</sub><sup>-</sup>, nss-SO<sub>4</sub><sup>2-</sup>)은 79.7 %, 해염기원의 성분들(Na<sup>+</sup>, Cl<sup>-</sup>, Mg<sup>2+</sup>)은 10.0 %, 토양기원의 성분(nss-Ca<sup>2+</sup>)은 8.3 %의 조성을 보였고, PM<sub>2.5</sub>에서는 인위적 기원, 해염기원, 토양기원 성분들이 각각 88.5, 4.7, 4.4 %의 조성을 나타내었다. 또 황과 금속 성분은 S(1.47 μg/m<sup>3</sup>) > Al(1.17 μg/m<sup>3</sup>) > Fe(0.80 μg/m<sup>3</sup>) > Ca(0.54 μg/m<sup>3</sup>) > K(0.49 μg/m<sup>3</sup>) > Mg(0.42 μg/m<sup>3</sup>) > Na(0.29 μg/m<sup>3</sup>) > others(0.25 μg/m<sup>3</sup>)의 농도 순으로, 대체적으로 토양 기원의 성분들이 높은 농도를 보였고, 이 외에 Ti, Mn, Pb, Zn 등도 0.01 ~ 0.05 μg/m<sup>3</sup>로 비교적 높은 농도를 나타내었다.

### 3.2 TSP, PM<sub>2.5</sub>의 황사/비황사 시 조성 비교

TSP의 수용성 성분은 황사시  $\text{nss-SO}_4^{2-} > \text{NO}_3^- > \text{nss-Ca}^{2+} > \text{NH}_4^+ > \text{Na}^+ > \text{Cl}^- > \text{Mg}^{2+} > \text{K}^+$ , 비황사시  $\text{nss-SO}_4^{2-} > \text{NH}_4^+ > \text{NO}_3^- > \text{Na}^+ > \text{nss-Ca}^{2+} > \text{K}^+ > \text{Cl}^- > \text{Mg}^{2+}$ 의 순으로 높은 농도를 나타내었다. 그리고 황사/비황사의 농도비는  $\text{NH}_4^+$ 를 제외한 나머지 성분들이 1.0 ~ 4.0로 황사 시에 증가하였고, 특히 토양성분인  $\text{nss-Ca}^{2+}$ 이 가장 크게 증가한 것으로 조사되었다. 또 PM<sub>2.5</sub> 역시 수용성 성분의 농도 순위는 TSP와 유사한 경향을 보였고, 황사/비황사의 농도비는  $\text{NH}_4^+$ 를 제외한 성분들이 1.1 ~ 1.9 배로, TSP보다는 상대적으로 낮게 증가한 것으로 나타났다. 또 인위적 기원의  $\text{nss-SO}_4^{2-}$ 와 토양 기원의  $\text{nss-Ca}^{2+}$ 에 대한 TSP/PM<sub>2.5</sub>의 농도비는 각각 1.8, 6.1 배로, PM<sub>2.5</sub>에 비해 TSP에서 황사의 영향이 더 크게 나타난 것으로 확인되었다. 또한 황과 금속 성분은 황사 시  $\text{Al} > \text{S} > \text{Fe} > \text{Ca} > \text{K} > \text{Mg} > \text{Na} > \text{others}$ , 비황사 시  $\text{S} > \text{Al} > \text{Fe} > \text{Ca} > \text{K} > \text{Na} > \text{Mg} > \text{others}$ 의 순으로 높은 농도를 나타내었다. 그리고 황사/비황사의 농도비는 1.2 ~ 4.0으로 황사 시에 모든 성분들의 농도가 증가하였고, 이 중 Al이 가장 크게 증가하였으며, S, Pb, Zn 등 인위적 기원의 성분들도 각각 1.5, 1.7, 1.9로 비교적 높은 증가율을 나타내었다.

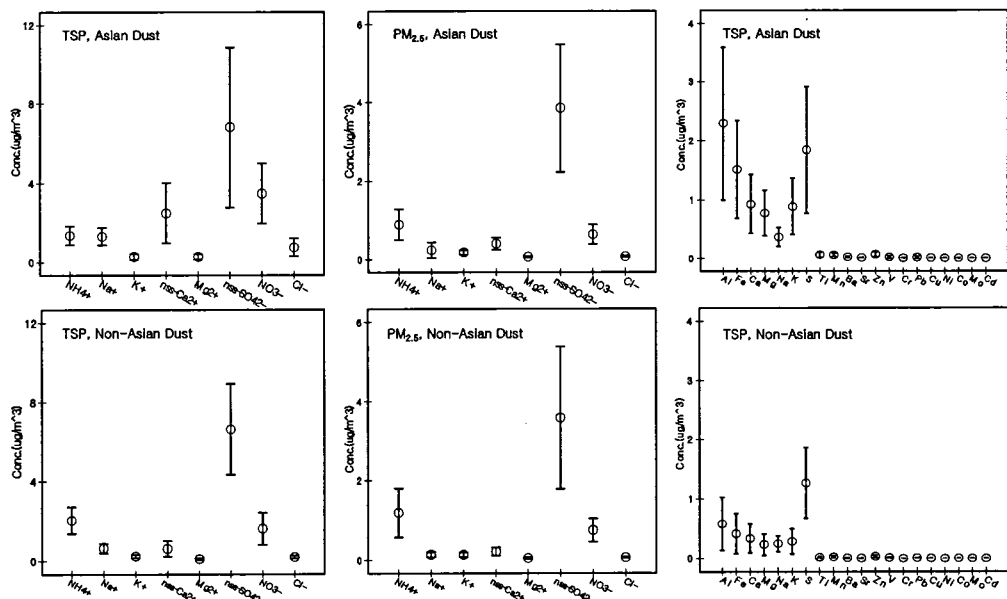


Fig. 1. Comparisons of TSP and PM<sub>2.5</sub> component concentrations between Asian Dust and Non-Asian Dust periods at 1100 site of Mt. Halla.

### 사사

이 논문은 2006년도 한국표준과학연구원의 연구비 지원(위탁연구과제)으로 수행되었습니다.

### 참고문헌

- 김원형, 강창희, 신찬성, 고선영, 홍민선 (2003) 제주도 한라산 1100 고지 대기 에어로졸의 조성 및 특성, *한국대기환경학회지*, 19(2), 145-156.  
 Kim, K.H., G.H. Choi, C.H. Kang, J.H. Lee, J.Y. Kim, Y.H. Youn, and S.R. Lee (2003) The chemical composition of fine and coarse particles in relation with the Asian Dust events, *Atmospheric Environment*, (Elsevier Science), 37(6), 753-765.